

## Влияние выбора имитационной модели ракеты-носителя “Циклон-4” на расчетные значения динамических характеристик

А. С. Конюхов, А. С. Цыбенко, Н. Г. Крищук

Национальный технический университет Украины “Киевский политехнический институт”,  
Киев, Украина

*Рассмотрена имеющая более высокую степень приближения к конструктивному аналогу динамическая модель ракеты-носителя “Циклон-4” пакетной компоновки в виде связанных подкрепленных тонкостенных упругих оболочечных отсеков, а также механических аналогов двигательных агрегатов, узлов крепления и жидких масс. Исследованы собственные формы и частоты колебаний имитационной модели для начальной стадии полета. Приведено сравнение экспериментальных данных с расчетными, полученными на основе аппроксимации ракеты-носителя в виде пространственного пакета стержневых элементов.*

**Ключевые слова:** ракета-носитель, динамический анализ, собственные колебания, собственные частоты, формы колебаний, гладкооболочечная модель, метод конечных элементов.

**Введение.** Для расчетного определения динамических характеристик жидкостных ракет-носителей (РН) на этапе проектирования обычно используют приведение конструкции к эквивалентным упругим стержневым аналогам, содержащим сосредоточенные и колеблющиеся массы на упругих и жестких связях [1, 2]. Такой подход, очевидно, имеет свои преимущества (относительная простота модели и реализации) и недостатки (невысокая точность). Поэтому представляет интерес разработка новых имитационных моделей, позволяющих определять уточненные динамические характеристики жидкостных РН.

Цель работы заключается в оценке эффективности имитационной динамической модели РН “Циклон-4” пакетной компоновки при аппроксимации отсеков основного (центрального) и боковых модулей (блоков) в виде сопряженных подкрепленных тонкостенных оболочечных конструкций и сравнении экспериментальных данных с расчетными с использованием пакетно-стержневой модели [1].

**Материалы и методы.** В основу концепции построения трехмерной расчетной схемы для исследования динамических характеристик прототипа-аналога РН “Циклон-4” пакетной схемы (рис. 1) положено приведение моделей корпусов отсеков трех ступеней основного и шести боковых подвесных модулей к сочлененным пространственным тонкостенным оболочечным фрагментам постоянной толщины с усредненными эквивалентными жесткостными и инерционно-массовыми характеристиками. Оболочки отсеков РН вдоль продольной оси регулярно подкреплены шпангоутами фиксированной жесткости, а также стыковочными силовыми шпангоутами специального вида для крепления подвесных модулей. Силовые элементы подкрепляющего набора размещены на внутренней поверхности оболочек [3].

Геометрические характеристики профилей шпангоутов, используемых в модели поперечного подкрепляющего набора оболочек отсеков РН, соответствуют уголку Пр100-9 (линейные размеры  $0,025 \times 0,025$  м, площадь сечения  $0,964 \cdot 10^{-4}$  м<sup>2</sup>, осевые моменты инерции  $0,573 \cdot 10^{-8}$  м<sup>4</sup>). Для стыковочных силовых шпангоутов специального вида верхнего и нижнего поясов межблочных связей первой ступени основного и шести боковых подвесных модулей РН (рис. 1) параметры соответствуют удвоенному уголку Пр100-9 [3].

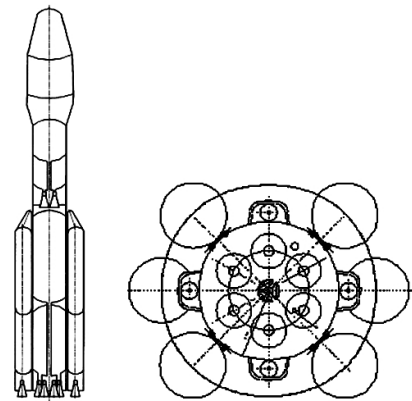


Рис. 1. Пакетная схема РН “Циклон-4”.

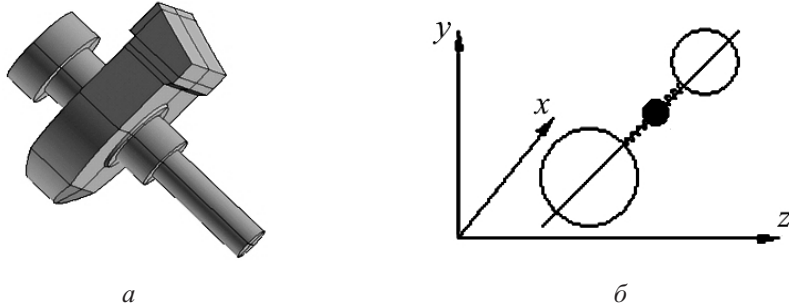


Рис. 2. Твердотельная модель связи нижнего пояса подвесного модуля РН (а) и расчетный аналог упруго-массовой связи силовых шпангоутов оболочек основного и боковых модулей (б).

Массивные узлы креплений, реализующих передачу усилий и моментов через верхний и нижний пояса силовых шпангоутов основного и боковых модулей РН (рис. 2,а), аппроксимировали массово-упругими связями (рис. 2,б). При этом полагали, что элемент связи может сопротивляться сложным видам упругих деформаций по шести обобщенным координатам [1].

Погонную массу подкрепленных оболочек основного и боковых модулей определяли по заданной плотности материалов соответствующих конструктивных элементов РН. Массу жидкости в емкостях модулей РН для стартового (начального) времени полета учитывали как добавку к плотности материала секций топливных баков. Двигатели и другие массивные элементы каждой из трех ступеней конструкции РН аппроксимировали сосредоточенными массами на шпангоутах в соответствии с их топологическим размещением в отсеках модулей. При построении расчетной схемы учитывали наличие геометрической и массовой симметрии конструкции РН.

Физико-механические свойства материала оболочек, шпангоутов и упругих элементов связей расчетной модели РН принимали соответствующими характеристиками алюминиевого сплава Д16Т: плотность –  $2800 \text{ кг}/\text{м}^3$ , модуль Юнга – 71 ГПа, коэффициент Пуассона – 0,3.

Осуществив алгебраизацию системы уравнений собственных колебаний для сформулированной эквивалентной расчетной схемы оболочечной модели РН (рис. 3) на основе метода конечных элементов (МКЭ) [4], получили дискретную форму уравнений вида

$$([M]^{-1}[K] - \omega^2[E])\{W\} = \{0\}; \quad (1)$$

$$\{W\}_{S=S_1} = \{\tilde{W}\}, \quad (2)$$

где  $[M]$  – матрица масс системы элементов;  $[K]$  – матрица жесткости системы элементов;  $[E]$  – единичная матрица;  $\omega$  – собственная частота;  $\{W\}$  – вектор узловых перемещений системы;  $\{\tilde{W}\}$  – кинематические ограничения на границе  $S_1$ . Собственные числа  $\lambda = \omega^2$  матрицы  $[M]^{-1}[K]$  системы уравнений (1) с наложенными ограничениями для вектора  $\{W\}$  в виде (2) характеризуют спектр собственных частот исследуемой модели.

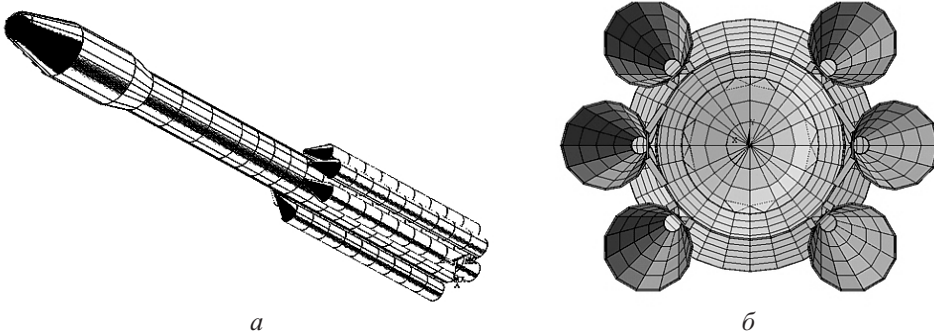


Рис. 3. Оболочечная модель РН “Циклон-4”: *a* – вид сбоку, *б* – вид сверху.

При построении дискретного аналога имитационной модели в системе инженерного анализа ANSYS 12,1 (лицензия ГКБ “Южное”) [5] учитывали, что материал тонких подкрепленных оболочек отсеков (основной и подвесные) модулей РН работает в основном на растяжение–сжатие и сдвиг, слабо сопротивляясь изгибу. Предположение о том, что распределение напряжений по толщине сглаженных обшивок модулей является равномерным, позволило воспользоваться для дискретизации оболочек четырехузловыми (SHELL41) мембранными конечными элементами (КЭ) с шестью степенями свободы в узлах (безмоментная теория оболочек). Пространственные двуузловые (BEAM188) КЭ постоянного сечения с шестью степенями свободы в узлах, описываемые технической теорией бруса, применяли для дискретизации конструкций шпангоутов.

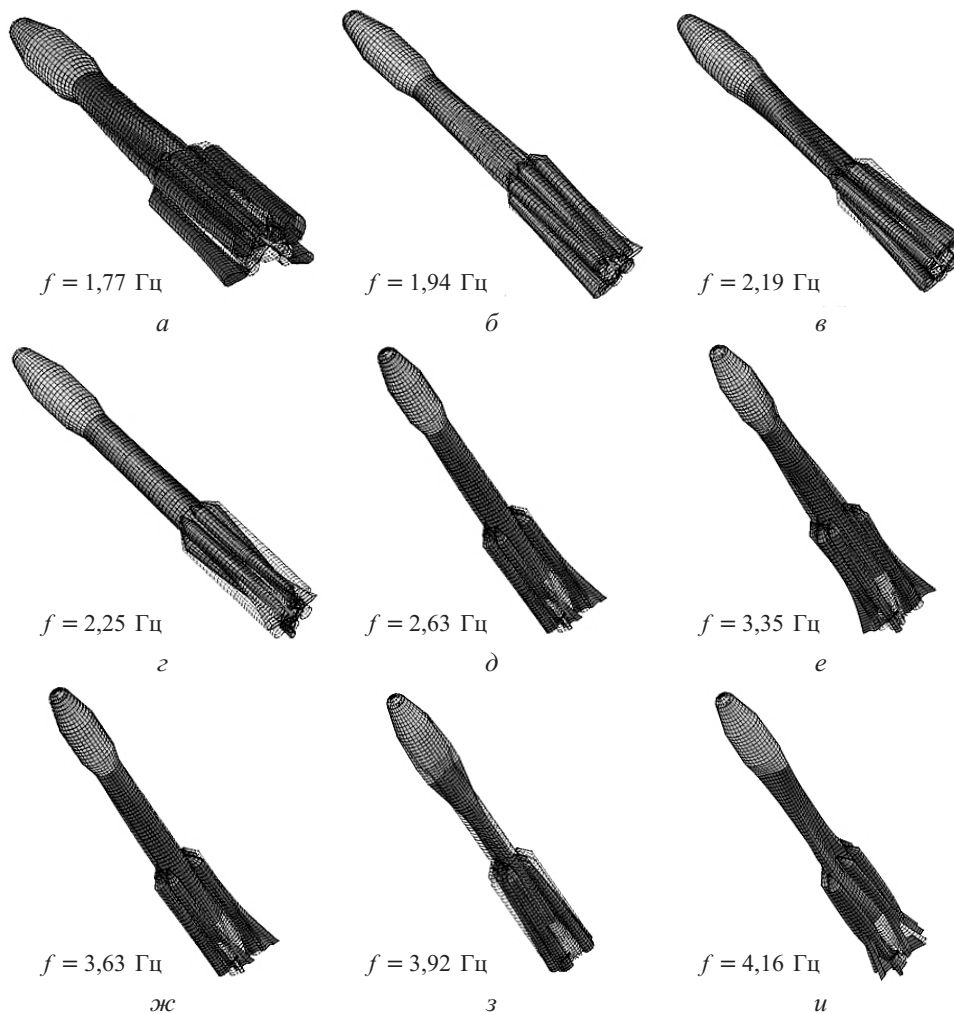
Сосредоточенные массы (MASS21) недеформируемых массивных тел, используемых при аппроксимации РН, размещали в соответствующих узловых точках КЭ модели. Упругие связи приводили к форме двуузловых суперэлементов – аналогов балочных КЭ с эквивалентными жесткостью и массой, отвечающими конструктивному исполнению верхнего и нижнего узлов креплений. Построенная трехмерная дискретная модель конструкции РН “Циклон-4” (рис. 3) состоит из 6134 КЭ (мембранные, балочные и двуузловые суперэлементы), объединенных в 5337 узлах с шестью степенями свободы. Общая масса КЭ модели РН без жидкости с распределенными параметрами и сосредоточенными массами составляет 6193 кг.

Результаты расчетов собственных частот для первых 39 форм колебаний оболоченной дискретной модели РН (рис. 3) приведены в табл. 1 и на рис. 4. Первой изгибной форме колебаний основного блока РН предшествуют формы поперечных колебаний элементов РН в диапазоне частот  $f = 0,63...1,77$  Гц (рис. 4,*a*) и реализуется она на частоте 1,94 Гц (рис. 4,*б*). В интервале частот 2,19...5,39 Гц имеют

Таблица 1

## Спектр собственных частот трехмерной динамической модели РН “Циклон-4”

| Формы колебаний | $f$ , Гц |
|-----------------|----------|-----------------|----------|-----------------|----------|-----------------|----------|
| 1               | 0,63     | 11              | 2,25     | 21              | 4,36     | 31              | 5,52     |
| 2               | 0,67     | 12              | 2,53     | 22              | 4,38     | 32              | 5,70     |
| 3               | 0,82     | 13              | 2,62     | 23              | 4,65     | 33              | 5,82     |
| 4               | 0,90     | 14              | 3,35     | 24              | 4,68     | 34              | 5,88     |
| 5               | 0,91     | 15              | 3,48     | 25              | 4,93     | 35              | 6,00     |
| 6               | 1,10     | 16              | 3,63     | 26              | 4,96     | 36              | 6,07     |
| 7               | 1,74     | 17              | 3,68     | 27              | 5,19     | 37              | 6,34     |
| 8               | 1,77     | 18              | 3,92     | 28              | 5,37     | 38              | 6,95     |
| 9               | 1,94     | 19              | 4,13     | 29              | 5,39     | 39              | 7,08     |
| 10              | 2,19     | 20              | 4,16     | 30              | 5,48     |                 |          |



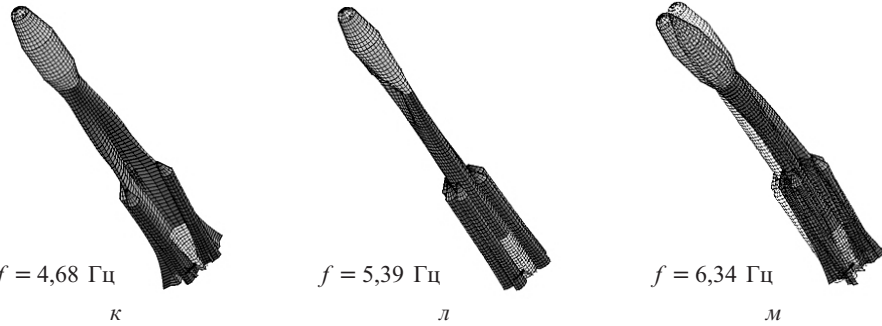


Рис. 4. Собственные формы колебаний динамической модели РН “Циклон-4” на основе аппроксимации отсеков подкрепленными оболочками.

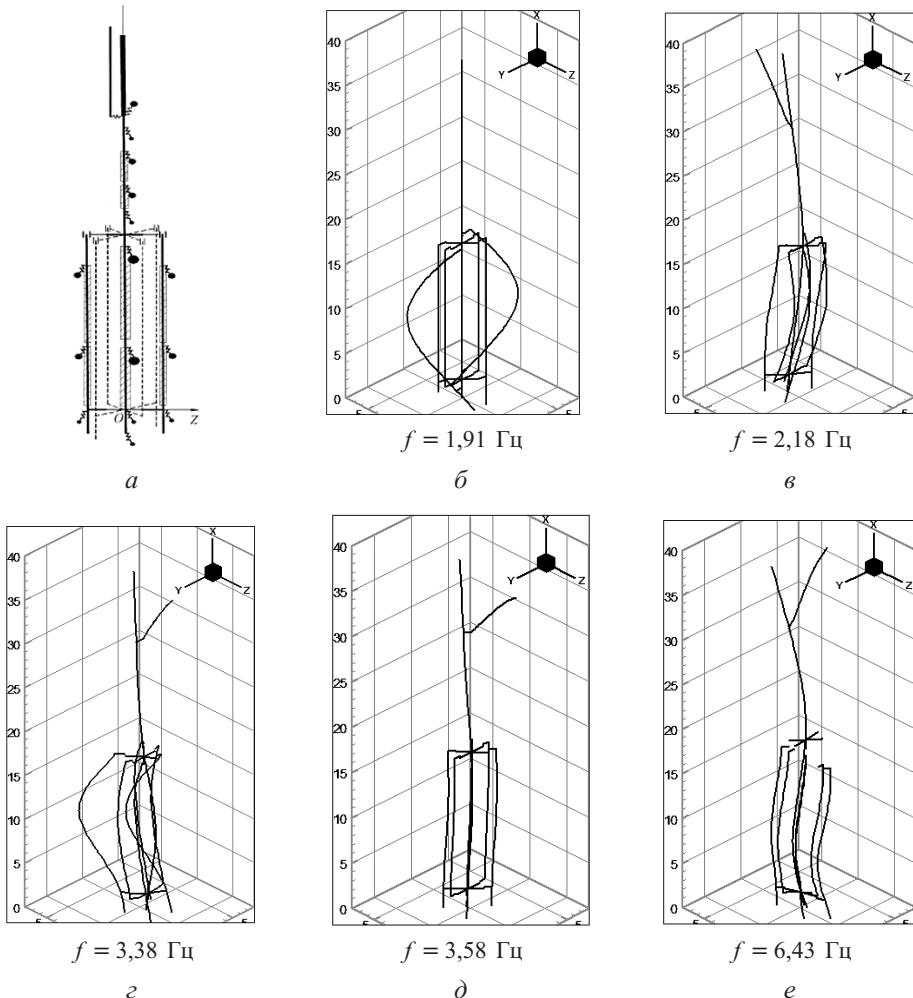


Рис. 5. Расчетная схема (*a*) и собственные формы колебаний динамической модели РН “Циклон-4” на основе пространственного пакета упругих элементов балочного типа (*b*–*e*).

место различные изгибные формы колебаний основного блока, а также изгибные и продольные формы колебаний подвесных модулей (рис. 4,*б*–*к*). Вторая и третья основные частоты колебаний соответственно равны 3,92 (рис. 4,*з*) и 6,34 Гц (рис. 4,*м*).

На частотах выше 6,34 Гц доминируют комбинированные изгибные и продольные формы колебаний основного блока и аналогичные формы для подвесных модулей.

Верификацию полученных результатов осуществляли посредством сопоставления с данными имитационного моделирования на основе пространственного пакета из семи связанных упругих кусочно-неоднородных элементов балочного типа (рис. 4), отвечающих центральному и боковым блокам РН с учетом присоединенных масс (двигатель, аппарат стабилизации и т.п.), объемов жидких масс, условий сопряжения в межблочных связях для нижнего и верхнего силовых поясов подвесных модулей [1, 2].

Основные формы колебаний центрального и подвесных блоков стержневой модели РН приведены на рис. 5,б–е.

Т а б л и ц а 2

Собственные формы колебаний трехмерных динамических моделей РН

| Форма колебаний центрального блока РН | Мембранные модели отсеков РН, Гц | Балочная модель отсеков РН, Гц | Относительная погрешность, % |
|---------------------------------------|----------------------------------|--------------------------------|------------------------------|
| Первая                                | 1,94                             | 2,18                           | 12,4                         |
| Вторая                                | 3,92                             | 3,58                           | 9,5                          |
| Третья                                | 6,34                             | 6,43                           | 1,4                          |

При сравнительном анализе данных расчетов для имитационных моделей РН с применением двух типов аппроксимаций модулей конструкции РН подкрепленными оболочками и балочными элементами можно отметить, что полученные значения частот основных изгибных форм колебаний корпуса РН (табл. 2) различаются не более чем на 12,5 % для первой собственной частоты колебаний центрального блока. Это значение уменьшается до 1,4% для третьей формы колебаний.

## Выводы

1. По результатам исследований динамических характеристик РН “Циклон-4” на основе гладкооболочечных аппроксимаций обнаружен ряд форм поперечных колебаний основного и подвесных модулей с частотами ниже частоты, соответствующей первой изгибной форме колебаний центрального блока. В диапазоне частот 2...7 Гц для центрального блока и подвесных модулей имеют место комбинированные изгибо-поперечные формы колебаний.

2. Можно утверждать, что для рассматриваемой конструкции РН реализуются собственные оболочечные формы колебаний, обусловленные взаимодействием в системе оболочка–жидкость, которые являются доминирующими при низких частотах и не могут быть адекватно учтены на основе балочной схемы.

3. Для корректного анализа динамических характеристик РН “Циклон-4” пакетной компоновки необходимо в дополнение к конечноэлементным расчетам собственных частот и форм колебаний на основе балочных аппроксимаций применять уточняющие имитационные модели в виде подкрепленных гладкооболочечных аналогов.

## Резюме

Розглянуто з більш високим ступенем наближення до конструктивного аналога динамічну модель ракети-носія “Циклон-4” пакетної компоновки у вигляді зв’язаних підкріплених тонкостінних пружних оболонкових відсіків, а також механічних ана-

логів двигунів, вузлів кріплення і рідинних мас. Досліджено власні форми і частоти коливань імітаційної моделі для початкової стадії польоту. Наведено порівняння експериментальних даних із розрахунковими, що отримані на основі апроксимації ракети-носія у вигляді просторового пакета стрижневих елементів.

1. Цыбенко А. С., Конюхов А. С. Имитационные динамические модели жидкостных РН. – Киев: Изд. НТУУ “КПИ”, 2008. – 230 с.
2. Конюхов А. С., Легеза В. С., Цыбенко А. С., Крищук Н. Г. Собственные колебания жидкостных ракет-носителей пакетной компоновки // Пробл. прочности. – 2001. – № 3. – С. 93–99.
3. Блиннов В. Н., Иванов Н. Н., Сеченов Ю. Н., Шалай В. В. Ракеты-носители. Проекты и реальность. Справ. пособие. В 2 кн. / Кн. 1. Ракеты-носители России и Украины. – Омск: Изд-во ОГТУ, 2011. – 380 с.
4. Зенкевич О., Морган К. Конечные элементы и аппроксимация. – М.: Мир, 1986. – 318 с.
5. ANSYS Workbench User’s Guide, Release 12.1.

Поступила 20. 10 2014